

多項ロジットモデルによる住宅立地つけ値関数の推定*

AN ESTIMATION OF RESIDENTIAL BID RENT FUNCTIONS WITH MULTINOMINAL LOGIT MODEL

相谷 増男 **
小倉 幹弘 ***

By Masuo Kashiwadani and
Mikihiro Ogura

This paper presents some discussion about Lerman and Kern bid rent model which extended Ellickson model. The log-likelihood functions of both models are examined. And it is concluded that Lerman and Kern model has an advantage of estimating bid rent functions over Ellickson model. Because Lerman and Kern model has both a regression character and a discrimination character, while Ellickson model has a discrimination character only. Moreover, we have a suspicion that parameters estimated by Ellickson model may be biased. An estimation procedure of Lerman and Kern model which has never reported is proposed. Some estimation examples showed that this procedure would be useful in actual estimations.

1. はじめに

Alonso¹⁾のつけ値理論以後、つけ値を実際に計測する多くの試みがなされた。Harris²⁾, Anas³⁾, Wheaton⁴⁾らはクロスセクション分析法でのつけ値推定を試みたが、それらの結果は必ずしも満足のいくものではなかった。Rosen⁵⁾のHedonic Price Theoryは特徴はクロスセクション分析を伴うもので、Quigley⁶⁾, 金本・中村⁷⁾などの研究例があるが、この推定法は容易ではない。一方 Ellickson⁸⁾は多項Logit Modelによるつけ値関数推定法を提案した。これは、いくつかのつけ値関数の相対的な差を計測するものであつて、その後 Lerman-kern⁹⁾により、つけ値関数そのものを計測する方法へ発展させられている。この方法は、論

* キーワード：住宅立地、都市解析

** 正会員 工博 慶應義塾大学助教授 工学部海洋工学科

*** 学生会員 慶應義塾大学院 海洋工学専攻
(〒790 松山市文京町3)

理的適合性より計算の容易さの点ですぐれており、実用的価値の高い方法と考えられる。しかしながら、筆者の知る限りでは、Lerman-kernのモデルの計測例ではなく、このモデルの特性や実際の推定手法等に未知な点が多いと思われる。

本研究は、Lerman-kernのモデルの実際的適用を試みたもので、Lerman-kernのモデルの尤度関数の特性、EllicksonモデルとLerman-kernモデルとの比較、具体的な推定法等について考察している。

2. Lerman-kernのつけ値関数推定モデル

(1) つけ値密度関数の誘導¹⁰⁾

世帯タイプの集合を T とし、各世帯タイプ t を添字 t で表わす。なお、立地世帯を特に \star 、非立地世帯を特に \square で表わすことがある。地点 s には住宅を添字 s で表わす。地点 s には住宅の属性ベクトルを Z とする。ただし簡単のために、以後 Z と記すこととする。地点 s の地価を P_{ks} とし、世帯 t の地点 s に対

すつづけ値関数の値を $\psi_t(z_h)$ で表わす。地点 h に世帯タイプ t が立地し、そのときの地価が P_h であるといふ確率 $f(t, P_h | z_h)$ は次式で表わされる。

$$f(t, P_h | z_h) = \Pr_{t \neq t'} \{ \psi_t(z_h) + \varepsilon_{th} = P_h \text{ and } \psi_{t'}(z_h) + \varepsilon_{t'h} \leq P_h \} \quad (1)$$

簡単のため、添字 h を省くこととし、 ε_t の密度関数がそれぞれの t について分散 ω を持つ独立で同一の Gumbel 分布に従う (I.I.G.D.) とするとき、式(1)は次式で表わされる。¹⁰⁾

$$f(t, P | z) = \frac{\omega e^{-\omega(P - \psi_t(z))}}{\exp \left\{ \sum_{t' \in T} e^{-\omega(P - \psi_{t'}(z))} \right\}} \quad (2)$$

(2) Ellikson のモデルとの関係

Ellikson のモデルは属性 ψ_h を持つ地点に世帯タイプ t の世帯が立地する確率 $P(t|z_h)$ に着目したもので、その定義は次式で示される。¹⁰⁾

$$P(t|z_h) = \Pr_{t \neq t'} \{ \psi_t(z_h) + \varepsilon_{th} \geq \psi_{t'}(z_h) + \varepsilon_{t'h}, t, t' \in T \} \quad (3)$$

ε_t が I.I.G.D. と仮定する。添字 h を省くと $P(t|z)$ は次式となる。

$$P(t|z) = \frac{e^{\psi_t(z)}}{\sum_{t' \in T} e^{\psi_{t'}(z)}} \quad (4)$$

式(2)は属性 z のもとで、価格が P であり、かつ世帯タイプ t が立地する確率を表わし、式(3)は属性 z のもとで、価格の値いかんにかかわらず、世帯タイプ t が立地する確率を表わしている。いま $\omega = 1$ 、および P が一様分布をすると仮定すると、次式が成立する。

$$P(t|z) = \int_{-\infty}^{\infty} f(t, P | z) dP \quad (5)$$

つきに、式(2)は、選択確率の価格に関する密度関数を価格がある特定の値を取るときについて表したものといえる。

3. 尤度関数の特性

(1) 尤度関数

Lerman-Kern のモデルの尤度関数は次式で定義される。

$$L = \prod_{h=1}^H \prod_{t=t'}^T f(t, P | z)^{\delta_{th}} \quad (6)$$

ここで、 H はサンプルの総数

$$\begin{aligned} \delta_{th} &= 1 && (\text{立地したとき}) \\ &= 0 && (\text{立地しないとき}) \end{aligned}$$

$\sum \delta_{th} = 1$ を用いると、式(6)の対数尤度 L は、次式で表わされる。

$$L = H \ln(\omega) - \omega \sum_h \sum_t \delta_{th} (P_h - \psi_t(z_h)) - \sum_h \sum_t e^{-\omega(P_h - \psi_t(z_h))} \quad (7)$$

式(7)の未知数は ω と関数 ψ_t である。また、 ψ_t は単独では現われず、常に $P_h - \psi_t(z_h)$ の形をとっている。

(2) つけ値関数パラメーターに関する特性

対数尤度関数 L の $P_h - \psi_t(z_h)$ に関する変化に着目する。 L を $P_h - \psi_t(z_h)$ で偏微分すると次式を得る。

$$\frac{\partial L}{\partial (P_h - \psi_t(z_h))} = \omega \left\{ -\delta_{th} + e^{-\omega(P_h - \psi_t(z_h))} \right\} \quad (8)$$

地点 h に世帯タイプ t が立地したとき $\delta_{th} = 1$ であり、このとき次式が成立する (ただし $\omega > 0$)。

$$\left. \begin{aligned} P_h - \psi_t(z_h) \geq 0 \text{ のとき } \frac{\partial L}{\partial (P_h - \psi_t(z_h))} &\leq 0 \\ P_h - \psi_t(z_h) \leq 0 \text{ のとき } \frac{\partial L}{\partial (P_h - \psi_t(z_h))} &\geq 0 \end{aligned} \right\} \quad (9)$$

地点 h に世帯タイプ t が立地しないとき、 $\delta_{th} = 0$ であり、次式が成立する。

$$\left. \begin{aligned} P_h - \psi_t(z_h) \geq 0 \text{ のとき } \frac{\partial L}{\partial (P_h - \psi_t(z_h))} &> 0 \\ P_h - \psi_t(z_h) \leq 0 \text{ のとき } \frac{\partial L}{\partial (P_h - \psi_t(z_h))} &> 0 \end{aligned} \right\} \quad (10)$$

式(9)より、着目した世帯タイプ t が立地した地点では立地世帯のつけ値を価格に近づけるほど尤度 L の値が大きくなることがわかる。一方、式(10)を見ると、立地しない世帯タイプについても、その地点でのつけ値を下げれば下げるほど、尤度 L の値は大きくなることがわかる。

最も法で推定したつけ値関数を $\hat{\psi}_t(z)$ としたとき、 $\max_z \hat{\psi}_t(z)$ が P_h を越えないことは保障されないが、式(9)、(10)より判断すれば、 P_h はほとんど $\hat{\psi}_t(z)$ に対して、 $\hat{\psi}_t(z)$ の値よりも大きいと期待できようである。

(3) 分散パラメーターに関する特性

対数尤度 L を W で偏微分すると次式を得る。

$$\frac{\partial L}{\partial W} = \frac{H}{W} + \sum_h \sum_t (P_{ht} - \psi_t(z_h)) \left\{ e^{-W(P_{ht} - \psi_t(z))} \right\} \cdot S_{th}^2 \quad (11)$$

W が小さくなれば、 H/W の値は大きくなる。また最尤法の結果、立地した世帯では P_{ht} に $\psi_t(z_h)$ の値が近く、立地しない世帯では $\psi_t(z_h)$ の値が小さくなることを考えると、 W が小さい正数のとき、 $\partial L / \partial W$ は正の値をとるといえる。

一方、 W が大きくなると H/W の値は小さくなる。 $S_{th}=1$ のときは $P_{ht} - \psi_t(z_h)$ の値の正負にかかわらず第2項の値は負であるが、その絶対値は W の値とともに大きくなる。 $S_{th}=0$ のときは $P_{ht} - \psi_t(z_h)$ が正ならば第2項の値は正であるが、 W の値が大きくなるとともに、その値は小さくなる。また $P_{ht} - \psi_t(z_h)$ が負のときは第2項は負で W の値とともにその絶対値は大きくなる。したがって、 W の値が大きくなると、 $\partial L / \partial W$ は負の値をとるものと考えられる。

以上の考察より W は正の領域で、 L に関する極大値を少なくともひとつはとらべられる。

(4) Ellikson のモデルと Lerman-Kern のモデルとの比較

ここでは、尤度関数の特性から見た両モデルの比較考察を行なう。

Ellikson のモデルの尤度関数に対する対数尤度 L は、次式で表わされる。

$$L = \sum_h \sum_t S_{th} \psi_t(z_h) - \sum_h \ln \sum_t e^{\psi_t(z_h)} \quad (12)$$

式(12)から、立地した世帯については $\psi_t(z_h)$ の値を大きくし、立地しない世帯については $\psi_t(z_h)$ の値を小さくすれば、 L の値を大きくすることができる。したがって、尤度関数の値を最大にするという推計手法に着目して見ると、Ellikson のモデルは、つけ値関数を推定するという回帰的側面よりも、むしろ、世帯タイプ間のつけ値関数の相違をきわめて小さくするという判別的側面が現われやすいモデルと言える。

このこと、次の図例で具体的に見てみよう。いま世帯タイプ1と世帯タイプ2とのつけ値が図-1の直線で表わされたとし、また、図中の丸印は都心から地価を示し、黒丸はタイプ1が、白丸はタイプ2がそれぞれ立地していたとする。いま、タイプ

1 のつけ値関数の値を固定して、タイプ2のつけ値関数に着目する。タイプ2のものつけ値関数をつけ値関数(a)と呼ぶ。それとは別に図中の破線で示したつけ値関数(b)を考えてみよう。このとき、関数(b)は関数(a)に比べて分散尤度をより大きくする。したがって、Ellikson のモデルで得た結果は、真のつけ値関数の相対差ではなく、バイアスのかかるたとのところ、いろいろ可能性が大きい。

これに対して、Lerman-Kern のモデルでは、 $S_{th}=1$ の場合には、地価とつけ値の差を小さくするほど尤度の値が大きくなり、この点では、モデルは回帰分析的側面を持ったといえる。 $S_{th}=0$ の場合には $\psi_t(z_h)$ の値を小さくするほど尤度が大きくなる(判別の側面を持つ)といふとも言える。

図-1 の例についてこのことを検討してみる。タイプ2のつけ値関数(a)と(b)について比較する。

$S_{th}=1$ の場合には、立地世帯のつけ値をできる限り地価に近づけると尤度が大きくなるため、つけ値関数(a)の方がつけ値関数(b)よりも尤度を大きくする。

一方、 $S_{th}=0$ の場合にはつけ値関数(b)の方がつけ値関数(a)よりも尤度を大きくする。しかし、式(12)の第3項が指數関数であるため $P_{ht} - \psi_t(z_h)$ の値がすでに大きい値を持ってば、それ以上に $\psi_t(z_h)$ の値を小さくしても式(12)の第3項の値はさほど変わらないと考えられる。以上のことから、断定的には言えないものの、Lerman-Kern のモデルではつけ値関数(a)が選ばれる可能性はつけ値関数(b)が選ばれる可能性に比べてかなり大きいと推察される。つまり、Lerman-Kern のモデルは回帰的側面を持たない。よりバイアスの少ない推定値が得られていくと期待できる。

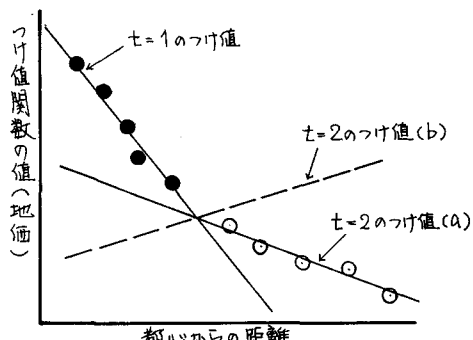


図-1 つけ値関数推定のバイアスに関する説明図

このように、Ellikssonのモデルは判別モデルとしての性格が強いが、Lerman-Kernのモデルは回帰モデルとしての性格も強く持ちあわせていることが特徴と言える。つけ値関数は、初用関数に比べて、より現実的であることは具体的な関数であり、推定モデルが回帰的性格を持つことは、モデルとして重要なことである。この点で、Lerman-Kernのモデルは、Ellikssonのモデルに比べて大きくすぐれていると評価できる。

(5) 適合度指標

尤度関数の確率分布特性が未知のため適切な適合度指標を設定すべき。

モデルが、判別的側面と回帰的側面を持つため、ここでは、以下のようにして適合度指標を考えることとする。

a) 判別に関する指標

McFaddenが、重相関係数に対応するものとして提案している式の R^2 を用いる¹²⁾

$$R^2 = 1 - S(\hat{P}) / S(\bar{P}) \quad (13)$$

ここで $S(\hat{P})$ は最大尤度に対するパラメーターに関する調整済残差二乗和、 $S(\bar{P})$ はすべての係数が 0 の場合の調整済残差二乗和である。

確率密度関数に対する尤度関数を用いていたので、残差二乗和を計算するためには、選択確率 $P(t|z)$ を求めねばならない。ここでは最尤法で求めたパラメーターを算出したつけ値関数の値を $\hat{\psi}_t(z)$ として式(4)に代入して、その値を得た。実際に算出された指標値は次式の値である。

$$R^2 = 1 - \frac{\sum_{h=1}^H \sum_{t=1}^T \{S_{th} - \hat{P}(t|z_h)\}^2}{\sum_{h=1}^H \sum_{t=1}^T \{S_{th} - (1/\bar{n})\}^2} \quad (14)$$

ここで

$$\hat{P}(t|z_h) = \frac{e^{\hat{\psi}_t(z_h)}}{\sum_{t=1}^T e^{\hat{\psi}_t(z_h)}} \quad (15)$$

\bar{n} は、世帯タイプの総数

b) 回帰に関する指標

立地世帯のつけ値推定値が地価に一致しているかどうかに着目した。都心近くでは地価が非常に高いサンプルがあるため、両者の相関係数ではなく、次式に示すMAPEの値を用いることとした。

$$MAPE = \frac{1}{H} \sum_{h=1}^H \frac{|P_h - \hat{\psi}_t(z_h)|}{P_h} \quad (16)$$

(6) パラメータの推定方法

通常のロジットモデルの尤度関数は式(12)のようになるが、Lerman-Kernのモデルは式(7)のようになり、両者は異なっている。式(7)には W が推定パラメーターとして含まれているが、 W は ψ_t と積の形で現われるため、Newton-Raphsonのsuchな方法でのパラメーター推定は困難と考えられる。後に述べる筆者らの試算例においても、Newton-Raphson法を直接適用した場合、常に逐次解の点列は発散した。

ここで、 W を固定して、 $W = W_0$ とおくと式(7)は次式となる。

$$L = H \ln W_0 - W_0 \sum_{h=1}^H \sum_{t=1}^T S_{th} (P_h - \hat{\psi}_t(z_h)) - \sum_{h=1}^H \sum_{t=1}^T C - W_0 (P_h - \hat{\psi}_t(z_h)) \quad (17)$$

こうすると、尤度関数は、つけ値関数 $\hat{\psi}_t(z_h)$ のみの関数となる。 $\hat{\psi}_t(z_h)$ の関数として見て場合、式(7)は式(12)によく似た形をしており、通常のロジットモデルでNewton-Raphson法が成功していることから類推して、式(17)にもこの方法が有効と考えられる。後に述べる計算例では、 W を与えて、式(17)にNewton-Raphson法を適用したが、いずれの W に対してでも簡単につけ値関数のパラメータ推定が行はえた。

3(3)より、 W については、正の領域で少なくとも 1 つ以上の極大値が存在するため、 W の値を順次変えてながら、つけ値関数のパラメーター推定を行ない、尤度が最大となる W とつけ値関数とを採用すればよ。

4. 松山都市圏での試算例

Lerman-Kernのモデルの特性をより具体的に知ることを目的として簡単な試算を行なう。

(1) 対象従業地データ

松山市と周辺 2 市 4 町を対象地域とし、昭和 54 年松山広域都市圏 P.T. 調査時に実施したアンケート調査結果から、居住年数 5 年未満の通勤世帯を既住戸荷主と民営借家とを調査対象住宅として選んだ。各世帯のある特定の地点に対するつけ値の値は、従業地区によても異なると考えられるので対象地域を 51 の従業地区に分割した。今回の試算では、A：都心、

B: 北部近郊、C: 脳海部の3つの従業地区を対象とした。世帯属性としては、家族数を用い、1人、2人、3人以上の3種に分類して(以後、略して3人世帯と呼ぶ)。試算の目的のため、つけ値関数が用いる変数の数を制限し、変数としては、所得、通勤時間、都心からの距離のみを用いた。各変数について簡単に説明する。

ア) 所得---直接データが得られないため、年間と職業を参考にして算出し、つけ値関数推定時のサンプルの平均値を用いた。
(単位:万円)

イ) 通勤時間---自動車利用時の所要時間(被調査世帯が自動車を使つてない場合は、P.T.調査結果を参考に設定)(単位:分)

ウ) 都心からの距離---住宅の所在地(町丁別)
から松山市役所までの道路距離
(単位:km)

また、つけ値関数推定時に用いる各地点の地価は公示地価より算出して地価推定式を町丁別に適用して推定値を用いた(単位:万円/m²)。

(2) つけ値関数の形、サンプル、推定ケース

ア) つけ値関数の形

効用関数との関係など立地理論との関連を考えると対数線形のつけ値関数が望ましいが、線形関数を用いた方がつけ値関数の特徴がより明瞭に現われると予想される。このため、ヒリヤード、内田ヒモヒリヤードこととして、用いた関数を次に示す。

$$\Psi_t(z_h) = \sum_k \beta_{tk} z_{hk} \quad (18)$$

$$\ln \Psi_t(z_h) = \sum_k \beta_{tk} \ln z_{hk} \quad (19)$$

β_{tk} : 世帯タイプtの項目kに対するパラメーター

z_{hk} : 地点hの項目kの値

イ) サンプル

モデルの特性を知るための試算であるので、現実の世帯分布とは別に、各従業地、各世帯タイプごとにそれぞれ10サンプルをランダムに選んだ。

ウ) 推定ケース

各従業地ごとに、世帯タイプを選択肢とする推定を行なった。

(3) 推定方法に関する結果と考察

3(6)に示したように、 ω の値を順次与えながら

Newton-Raphson 法でつけ値関数のパラメーター推定を行なった。ミニマムは、すず ω の変化による推定結果の特徴について結果と考察を示す。

ア) 小度

図-2は、都心従業地の場合について、線形つけ値関数を用いたときの ω と対数尤度との関係を示している。 ω の値は0.02まで少しずつ変えており、 $\omega=0.52$ で極大値が得られて、 $\omega=1.2$ 以上の場合には、点列が発散し、解は得られない。一方、図-3は、同じケースについて、対数線形つけ値関数の結果を示している。 ω の値が大きくなるとともに、対数尤度の値も大きくなるとともに、収束計算が可能な領域は、 $\omega=1.94$ まで。 $\omega=1.96$ 以上では発散してしまう。他の2つの例でも同じ現象、すなわち、線形では極大値を与える ω の位置が確定できるが、対数線形では ω の値とともに尤度が増加して後発散するところが見られた。現時点では原因は不明である。このため以後の考察は線形つけ値関数のものに限ることとする。

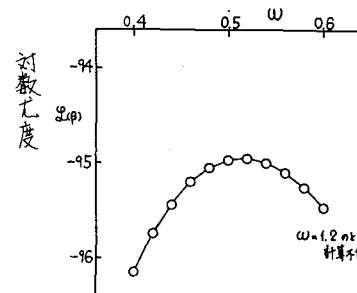


図-2 ω と対数尤度(線形関数)

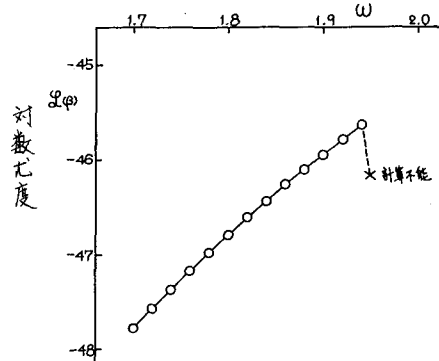


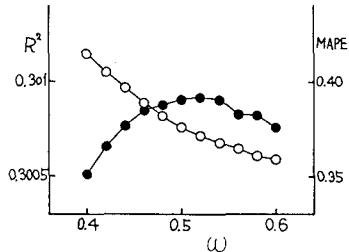
図-3 ω と対数尤度(対数線形関数)

b) 適合度

図-4の黒丸印は、都心従業地の場合について式(14)に示した R^2 の値と W との関係を示したものである。 R^2 値の大小は、対数尤度の大小に対応しているが、 W の変化に対する R^2 の変化はわずかと言える。

一方、図-4の白丸印は、式(16)のMAPEの値を示したものである。図に示した W の領域では、尤度の極大点を越えて、 W の値の増加とともにMAPEの値は低下する。しかししながら W の減少量はわずかである。

なお、適合率の値は、図の W の領域内では変化しない。以下に示す R^2 、MAPE、適合率と W の値との関係は他の2つの試算例でも同様である。

図-4 W と R^2 およびMAPEとの関係

c) つけ値閾値のパラメーター

いずれの試算ケースにおいても、 W の変化に対するパラメーターの値の変化は小さく、かつ単調な変化である。

以上a,b), c)の結果をまとめると、 W の値は推定結果に大きな影響を与えていないと考えられる。このことは、Lerman-Kernのモデルでは W が明示的であるが、Elliksonのモデルでは W は任意であることを関連を持つと思われるが、現時点では内容は定かではない。なお、この結果から見て、 W の値の大きさについてではなく細かくする必要はないと思われる。

(5) 住宅立地つけ値閾値の推定結果とその考察

表-1は、各従業地別に行なったつけ値閾値推定の結果を示したものである。なお、表中、パラメーター推定値の右に示してある二つの数字は、通常のロジットモデルでの t 値の計算式に数値を入れて計算したものである。

まず、統計的観点から推定結果を考察する。

(i) W の値は、0.52, 0.7, 0.8であり試算ケ

スによる相違は小さい。

(ii) R^2 の値は、従業地Aの場合がもっとも高く、0.3であるが他の場合は小さく、判別はやや困難である。一方、MAPEの値は、2変数の都心ケースでは約0.37、3変数の場合には0.25以上でやや大きい。適合率もあまり高くなく適合度は、やや不良である。

(iii) すべてのケースの尤度比の値は、十分大きく、通常のロジットモデルに準じて考えると、0.5%の有意水準が有意である。

(iv) パラメータの符号は、通勤時間の一部を除き、期待通りである。また、 t 、 s 、 t 値に相当する値も、都心からの距離、所得については十分と言える。以上まとめると、適合度についてはやや不良であるが、計算例としては十分評価できるものと思われる。

次に推定したつけ値閾値の内容について考察する。

(i) 通勤時間、1人世帯ではすべて負であるが、2人、3人世帯では正の値を示すものがいる。都心からの距離と重複する都心ケースを除けばつけ値への影響は小さいようである。

(ii) 都心からの距離、都心ケースでの通勤時間の値も含めて、すべて負となり、かつ t 値相当値も大きい。1人世帯では、他に比べて小さい（絶対値は大）値となる、という。

表-1 従業地別住宅立地つけ値閾値推定結果

	都心	北部近郊	臨海
W	0.52	0.70	0.80
1 通勤時間	-0.4237(-3.768)	-0.09835(-1.693)	-0.05587(+1.192)
都心からの距離		-0.49776(-2.688)	-1.027(-3.662)
人 所 得	0.9064(8.214)	0.7626(8.437)	0.9050(6.148)
2 通勤時間	-0.2062(-3.109)	-0.06913(-1.270)	0.02573(0.5932)
都心からの距離		-0.3444(-1.774)	-0.00488(-0.078)
人 所 得	0.4540(6.931)	0.5665(6.832)	0.1919(3.756)
3 通勤時間	-0.01311(-0.3047)	0.02853(0.4338)	0.07075(1.768)
都心からの距離		-0.6325(-2.572)	-0.1987(-1.401)
人 所 得	0.1699(2.461)	0.3616(4.978)	0.2081(3.107)
足(O)	-139.2	-160.4	-141.0
足(G)	-94.95	-92.65	-74.97
-2(LG)-L(P)	88.43	135.5	132.1
適合率	70.00	56.67	50.00
R^2	0.3092	0.1324	0.1937
MAPE	0.3721	0.2854	0.2647
$R < \max(R_{\text{all}})$ の数	5	2	2

(iii) 所得、すべて正の値を示す。つけ値関数の定数項、もしくは、両方に相当している。士値相当値も大きい。

図-5は、都心従業者について、通勤時間を横軸にし、て、推定したつけ値関数を直線で示し、各サンプルの地価の値を立地世帯が1人世帯の場合は丸印、2人世帯の場合は三角印、3人世帯の場合は四角印で示したものである。つけ値関数は1人世帯、2人世帯、3人世帯の順に傾きが大きく、かつ、切片も大きい。1人世帯は、都心近くあるいは地価の高い地点に居住し、2人世帯は、都心部の外側に居住している。3人世帯は、郊外居住者が多いが、都心近くにも居住し、広く分布している。全体的に、つけ値地価最大の領域に対応する世帯タイプの立地が多く見られる。ほとんどのサンプルについて推定したつけ値地価は、現実の地価を下すものである。都心近くの商業地のサンプル（地価、約15万円/m²程度のサンプル）を除けば、推定したつけ値地価の包絡線は、地価に近い値を示している。これらの観察結果は、いずれも、都市経済学におけるつけ値理論の結果と合致し、式(1)に示したモデルにもよく対応している。変数が少ないので、適合度はやや悪いが、つけ値関数の基本的な性格は描かれており、Lerman-Kernのモデルは、有効な推定手法と考えられる。

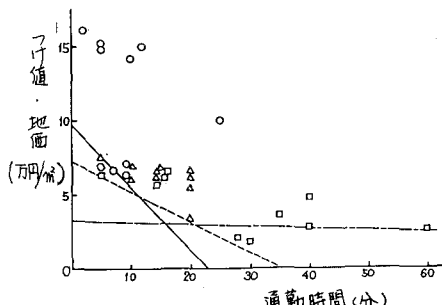


図-5 推定したつけ値関数とサンプル地価

5. おわりに

本研究では、Lerman-Kernのつけ値関数推定モデルをとりあげ、統計学的観点から見たモデルの特徴、パラメーター推定方法等について、数式の検討と試算結果を用いて考察した。

その結果、Lerman-Kernのモデルは、判別的性格と回帰的な性格を持ち合わせているユニークなモデルであることがわかった。回帰的な性格を持つことは、計算は困難であるが、存在感の強い概念であるつけ値関数の推定に関して、重要な意義を持つと考えられる。試算で推定したつけ値関数でも、適合度はやや不満足であるが、つけ値関数の概念においてもものが得られており、つけ値関数推定手法として有効なものと思われる。

一方、Elliksonのモデルは、判別的性格のケを有し、推定値にバイアスがある可能性が認められた。この点は、試算例で確かめる必要があるが、Elliksonのモデルでは、パラメータを正規化する必要があり（されないと発散して解が得られない）、このことは、現時点では実行できない。

Lerman-Kernのモデルのパラメーター推定については、直接にはNewton-Raphson法を使えなく、Wの値を順次変えながらNewton-Raphson法を適用する方法を提案した。試算例では演算は容易であり、また、Wの変化に対する適合度やパラメーターの変化も小さく、実用上有用な方法であることが認められた。

Lerman-Kernのモデルについては、確率分布や確定などについて未知な点が多く、今後さらに詳しく検討する必要がある。また、判別的性格と回帰的性格の混合という点についてもより明確な解析が必要である。

このように、モデル自身の研究課題も多いが、同時に試算例ではなく、本格的なつけ値関数推定をも今後は行ないたい。

なお、本研究は文部省科学研究費（総合研究A 590350035）の補助を受けたものである。

注) Lerman-Kernの論文では、サンプル数の項が入っていないが、ここでは以後の考察を簡単にするためそれを除いている。

参考文献

- 1) Alonso,W., Location and Land Use, Harvard Univ. Press, 1964.
- 2) Harris,B., Nathanson,J. and Rosenburg,L., Research on An Equilibrium Model of Metropolitan Housing and Locational Choice, Interim Report, Univ. of Pennsylvania, 1966.
- 3) Anas,A., The Empirical Calibration and Testing of a Simulation Model of Residential Location, Environment and Planning, A, 7, 1975, pp 899-920.
- 4) Wheaton,W.C., A Bid Rent Approach to Housing Demand, J.Urban Economics, 4(2), 1977, pp 200-217.
- 5) Anas,A., Residential Location Markets and Urban Transportation, Academic Press, 1982.
- 6) Rosen,S., Hedonic Prices and Implicit Markets: Product Differentiation in Pure Competition, J.Political Economy, 82, 1974, pp 34-55.
- 7) Brown,J.N. and Rosen,H.S., On the Estimation of Structural Hedonic Prices Models, Econometrica, 50, 1982, pp 765-768.
- 8) Quigley,J.M., Nonlinear Budget Constraints and Consumer Demand: An Application to Public Programs for Residential Housing, J.Urban Economics, 12, 1982, pp 177-201.
- 9) Kanemoto,Y. and Nakamura,R., A New Approach of Structural Equation Hedonic Models, a paper presented at Rokko Conference, 1984.
- 10) Ellickson,B., An Alternative Test of the Hedonic Theory of Housing Markets, J.Urban Economics, 9, 1981, pp 56-79.
- 11) Lerman,S.R. and Kern,C.R., Hedonic Theory, Bid Rents and Willingness to Pay: Some Extentions of Ellickson's Results, J.Urban Economics, 13, 1983, pp 358-363.
- 12) Domencich,T.A. and McFadden,D., Urban Travel Demand, North Holland American Elsevier, 1975.
- 13) 柏谷・小倉、住宅立地LPモデルのためのつけ値関数の推定、土木学会第39回年次学術講演会講演概要集、pp 41-42、昭和59年。